

**Zeitschrift:** Schweizerische Bauzeitung  
**Herausgeber:** Verlags-AG der akademischen technischen Vereine  
**Band:** 119/120 (1942)  
**Heft:** 15

**Artikel:** Eine neue Form aufgelöster Staumauern  
**Autor:** Jaeger, Charles  
**DOI:** <https://doi.org/10.5169/seals-52342>

#### **Nutzungsbedingungen**

Die ETH-Bibliothek ist die Anbieterin der digitalisierten Zeitschriften auf E-Periodica. Sie besitzt keine Urheberrechte an den Zeitschriften und ist nicht verantwortlich für deren Inhalte. Die Rechte liegen in der Regel bei den Herausgebern beziehungsweise den externen Rechteinhabern. Das Veröffentlichen von Bildern in Print- und Online-Publikationen sowie auf Social Media-Kanälen oder Webseiten ist nur mit vorheriger Genehmigung der Rechteinhaber erlaubt. [Mehr erfahren](#)

#### **Conditions d'utilisation**

L'ETH Library est le fournisseur des revues numérisées. Elle ne détient aucun droit d'auteur sur les revues et n'est pas responsable de leur contenu. En règle générale, les droits sont détenus par les éditeurs ou les détenteurs de droits externes. La reproduction d'images dans des publications imprimées ou en ligne ainsi que sur des canaux de médias sociaux ou des sites web n'est autorisée qu'avec l'accord préalable des détenteurs des droits. [En savoir plus](#)

#### **Terms of use**

The ETH Library is the provider of the digitised journals. It does not own any copyrights to the journals and is not responsible for their content. The rights usually lie with the publishers or the external rights holders. Publishing images in print and online publications, as well as on social media channels or websites, is only permitted with the prior consent of the rights holders. [Find out more](#)

**Download PDF:** 04.02.2026

**ETH-Bibliothek Zürich, E-Periodica, <https://www.e-periodica.ch>**

gerichteten Glieder Mindestdämpfung aufweisen und überdies entweder das konforme Bild  $\left[1 - \frac{1}{\beta}\right]$  des Fächerbereichrandes den Nullpunkt der Zahlenebene nicht umschliesst, oder aber das Bild  $\left[\frac{1}{\beta}\right]$  des Fächerbereichrandes den Punkt  $+1$  der Zahlenebene nicht umschliesst.

Es steht natürlich frei, die zu steuernde Maschine mitsamt dem Regler als ein einziges gerichtetes Glied aufzufassen, dessen Anfang und Ende miteinander verbunden sind. Setzt man gleichzeitig  $|\varphi_e| = \frac{\pi}{2}$ , so geht unser Kriterium in jenes von Nyquist über.

Setzt man wieder  $c\zeta$  anstelle von  $\beta$ , so geht die Schlussbedingung von  $B$  in folgende über: Das Bild  $\left[\frac{1}{\zeta}\right]$  des Fächerbereichrandes darf den Punkt  $+c$  der reellen Axe nicht umschliessen.

#### Endbeispiel

Wir wenden zum Schlusse die gewonnene Erkenntnis auf unser Eingangsbeispiel an. Aus den Gleichungen (4) folgt, dass die  $\beta_g$  der Glieder je nur eine Nullstelle

$$\xi_g = -\frac{1}{Z_g}$$

haben. Ordnen wir diese nach der Grösse ihrer Absolutwerte, so lässt sich sofort folgende Bedingung anschreiben:

$$\varrho_e < \frac{1}{Z_g 1} < \frac{1}{Z_g 2} < \frac{1}{Z_g 3} < \varrho_e' \quad \dots \quad (24)$$

Auf Grund eines Abschätzungssatzes der Algebra<sup>6)</sup> lässt sich sogar entscheiden, ob die Lösungen der Gleichungen (9) innerhalb der Schranken und  $\varrho_e$ ,  $\varrho_e'$  liegen. Ist die Ungleichung 24 erfüllt, so liegen die  $\xi_g$  sicher innerhalb des Fächerbereiches und das Dämpfungskriterium  $B$  kann angewandt werden. Die in Abb. 4 wiedergegebene Konstruktion des Polynomwertes ergibt für jedes der drei Glieder ein Dreieck mit der reellen Einheit als Grundlinie und dem Aussenwinkel  $\varphi_e$ . Zeichnet man diese Dreiecke mit der gleichen Basis ineinander, so erhält man Abb. 5, in der gleichzeitig der Aus-

druck  $\left|\frac{1}{\zeta}\right|$  mittels Hilfskreisen um den Nullpunkt und Parallelen mit der Neigung  $\varphi_e$  aus den Einzelwerten  $\xi_1$ ,  $\xi_2$ ,  $\xi_3$  konstruiert ist. Das Argument von  $\zeta$  ist gleich  $-(\varphi_1 + \varphi_2 + \varphi_3)$ , wobei das Minuszeichen infolge der Symmetrie des Randbildes  $\left[\frac{1}{\zeta}\right]$  bezüglich der reellen Axe auch vernachlässigt werden kann.

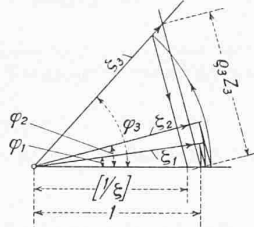


Abb. 5

tenen konformen Randbilder  $A$ ,  $B$ , bzw.  $D$ , nebst dem Einheitskreise  $K$  eingetragen. Diesen Kurven entspricht  $\varrho_e = 0,186$ ;  $0,026$  bzw.  $0,0019$ , d. h. genügend gedämpfter, gut gedämpfter bzw. praktisch aperiodischer Regelvorgang, sofern der durch  $c$  gegebene Punkt der negativ-reellen Axe nicht umschlossen wird. In unserem Fall mit  $c = -0,3$  ist demnach genügende, aber nicht gute Dämpfung nachgewiesen. Eine solche, ja sogar praktisch aperiodische Verlauf der Reglerabweichungen kann offenbar erreicht werden, wenn man  $\delta$  vergrössert und so den durch  $c$  gegebenen Punkt mehr nach links rückt. Wir haben auf unseren Bildkurven  $A$ ,  $B$ ,  $D$  eine Reihe verschiedener Punkte hervorgehoben und die ihnen entsprechenden  $\varrho$ -Werte angeschrieben. Verbindet man Punkte gleicher  $\varrho$ -Werte, so erhält man, wie strichpunktiert angedeutet, orthogonale Trajektorien zu den Kurven  $A$ ,  $B$ ,  $D$ , unter ihnen wäre das Bild der Bereichrandstücke  $\varrho_e$ ,  $\varrho_e'$  zu finden.

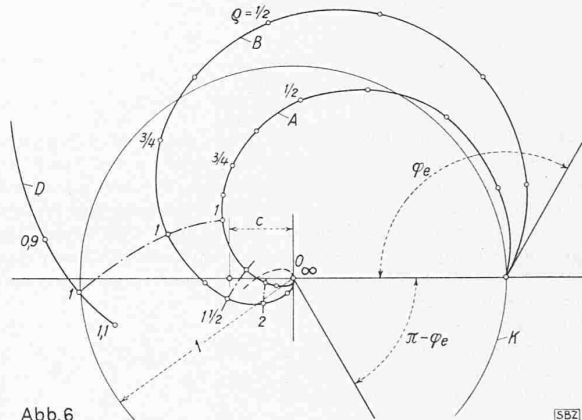


Abb. 6

SBZ

Der Augenschein lehrt, dass in unserem Fall der genaue Verlauf der Kurven  $A$ ,  $B$ ,  $D$  nicht von Belang ist, wenn nur ihre Schnittpunkte mit der reellen Axe gegeben sind und zudem bekannt ist, zwischen welchen Schnittpunkten die Kurve oberhalb und zwischen welchen sie unterhalb der Axe verläuft. Allgemein lässt sich zeigen, dass es schon genügt, ausser der Lage der Schnittpunkte noch zu wissen, ob die Axe an den Schnittstellen von oben nach unten, oder umgekehrt durchstossen wird.

Bei der Anwendung unseres Verfahrens ergeben sich leicht Ungenauigkeiten, wenn eine Zeitkonstante im Vergleich zu den andern gross ist. Hier kann aber leicht rechnerisch nachkorrigiert werden. Entartet Glied 3, wie schon angedeutet, so liegt die Nullstelle von  $\beta_3$  und folglich auch eine Nullstelle von  $\beta$  im Nullpunkt der Zahlenebene. In der Lösung Gl. (10) befindet sich daher ein zeitunabhängiger Summand, der weder die absolute, noch die relative Dämpfung verändert und uns daher nicht weiter interessiert. Soll das Kriterium  $B$  angewandt werden, so stört zunächst, dass der Exponent  $\xi_3$  dieser Lösung ausserhalb des in Abb. 2 gegebenen Bereiches liegt. Sollen daher die Lösungen von  $\beta = 1 = 0$  sämtliche im Bereich liegen, so muss die Kurve  $\left[1 - \frac{1}{\beta}\right]$  den Nullpunkt einmal und nur einmal im gleichen Umlaufsinn umschliessen, wie  $[\zeta]$  umlaufen wird. Das Gleiche gilt für  $\left[\frac{1}{\beta}\right]$  im Bezug auf den Punkt  $+1$  der reellen Axe.

#### Zusammenfassung

Es wird gezeigt, wie durch eine konforme Abbildung des Randes eines zur negativ-reellen Axe der Zahlenebene symmetrischen Fächerbereiches entschieden werden kann, ob die Eigenschwingungen eines Reglertriebes vorgeschriebenen Mindestdämpfungsbedingungen genügen. Die Punkte des Randbildes werden mittels schiefwinkliger Vektordiagramme ermittelt.

#### Eine neue Form aufgelöster Staumauern

Seit langem ist man bestrebt, wirtschaftlichere Staukörperformen zu finden, als die klassische dreieckförmige Gewichtstaumauer. Meistens wird als aufgelöste Staumauer der Typus mit mehrfachen Gewölben gewählt. Bei dessen Berechnung treten jedoch gewisse Schwierigkeiten auf, und der Bau wird durch kompliziertere Schalungen wieder verteurt.

Berechnet man eine Gewichtsmauer unter Anwendung der ausführlichen Methoden der Elastizitätstheorie, so kann festgestellt werden, dass die Spannungsverteilung längs einer Hori-

Nehmen wir hierin  $x_{e3}$  fest gleich  $x_{e3}^*$  an und integrieren beidseitig von  $z = 0$  ausgehend über die Zeit, so erhalten wir

$$x_{e3}^* = Z_{a3} x_{a3}$$

d. h.  $Z_{a3}$  ist diejenige Zeit, die verstreicht, bis bei  $1\%$  fester Eingangsabweichung die Drehzahl- bzw. Ausgangsabweichung von  $1\%$  entsteht.

Wir wählen  $\delta = 0,10$ ,  $Z_1 = 0,2$  s,  $Z_2 = 1$  s,  $Z_{a3} = 6$  s.

In Abb. 6 sind die mit diesen Werten und drei verschiedenen Bereichswinkeln  $\varphi_e = \left(\frac{\pi}{2} + \frac{\pi}{12}\right)$ ;  $\left(\frac{\pi}{2} + \frac{\pi}{6}\right)$ ;  $\left(\frac{\pi}{2} + \frac{\pi}{4}\right)$  erhaltenen

<sup>6)</sup> O. Perron: Algebra II, Verlag Walter de Gruyter & Co. 1933, S. 33, Satz 21.

zontalfuge linear verläuft<sup>1)</sup>). Die Baustatik macht von diesem Hauptresultat Gebrauch, sodass durch einfache Berechnungsmethoden eine Gewichtstaumauer für die massgebenden Belastungsfälle rasch und übersichtlich berechnet werden kann. Für andere Staumauerformen als die dreieckförmige Schwergewichtstaumauer ist jedoch die Spannungsverteilung nicht mehr linear, sodass solche Baukörper streng genommen durch die Methoden der Baustatik nur annähernd berechnet werden können. In einem Aufsatz des «Génie Civil» vom 24. Sept./4. Okt. 1941 beschreibt nun Ing. Edgar Baticle, Inspecteur général des Ponts et Chaussées, eine neue Form einer aufgelösten Staumauer, für die sich die Grundgleichungen der Elastizitätstheorie, mit einigen wenigen einfachen Berechnungsannahmen, genau auflösen lassen, sodass diese Mauer sich mit der selben Sicherheit wie eine klassische dreieckförmige Gewichtstaumauer genau berechnen lässt.

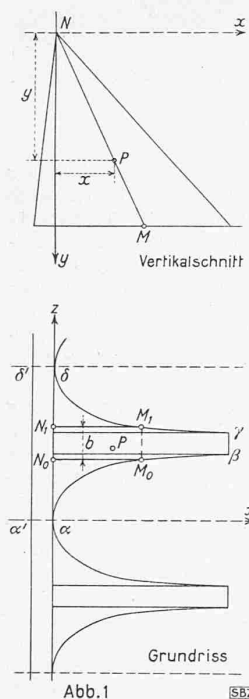


Abb. 1

SBZ

Gleichungen (1) bis (3) lösen, zusammen mit den Randbedingungen, das Problem, wie Baticle näher ausführt.

Ing. Baticle gibt als Berechnungsbeispiel den Fall einer 100 m hohen Staumauer mit lotrechter wasserseitiger Begrenzungsfäche und parabolförmiger Leitlinie  $\alpha \beta \gamma \delta$ . Mit einer Gewichtstaumauer verglichen, ist nach Baticle, bei mindestens gleich hoher Sicherheit, eine Volumenersparnis von rd. 30 % zu erzielen. Auch an den Drainagen können, wie bei andern aufgelösten Staumauern, wesentliche Ersparnisse erzielt werden, da die Wasser-Infiltrationen leicht den kürzesten Weg finden werden. Demgegenüber stehen die Mehrkosten infolge Schalungen; deren Verlegen wird jedoch durch die konoidale Form erleichtert.

Wenn auch die vorgeschlagene Bauform gewisse Ähnlichkeit mit den aufgelösten Bogenstaumauern aufweist, so ist sie nach den Ausführungen Baticles doch in ihrer Arbeitsweise gegen Wasserdruck grundsätzlich verschieden. Die Bogenwirkung ist beim neuen Typus auf einen kleinen Teil der Mauer begrenzt; in ihren wesentlichen Teilen arbeitet die neue Staumauer als Gewichtstaumauer und lässt sich als solche nach den Grundsätzen der Elastizitätstheorie berechnen, im Gegensatz zu den aufgelösten Bogenstaumauern, die nur auf Grund von zahlreichen Berechnungsannahmen mit den Methoden der Baustatik dimensioniert werden können. Der Bau ist auf Schwinden und Temperatureinflüsse wenig empfindlich. Jeder Block arbeitet für sich und ist auch für sich im Gleichgewicht, unbekümmert um allfällige Schädigung in benachbarten Teilen. Der neue Staumauertypus lässt sich auch der Geländeform leicht anpassen.

Es schien uns angezeigt, den Vorschlag von Baticle hier ausführlich zu erwähnen. Ein Vergleich mit älteren Vorschlägen und Ausführungen, z. B. dem Don Martin Dam (Mexico) — der ebenfalls in dieser Zeitschrift<sup>4)</sup> beschrieben wurde — könnte lehrreich sein.

Charles Jaeger.

## Clubhäuser des Schweizer Alpenclub

Von Arch. OTTO PFLEGHARD jun., Zürich

Der Schweizer Alpenclub besitzt heute rund 125 Clubhäuser, die zahlreichen Skihäuser und Unterkünfte der einzelnen Sektionen nicht gerechnet. Sie sind im Laufe von über 75 Jahren, d. h. seit dem Bestehen des S. A. C. entstanden und verteilen sich über das ganze schweizerische Alpengebiet. Ihre Bestimmung, Bergsteigern einfache, sichere Unterkunft, weit ab von Siedlungen und Alpen, zu bieten, und lange, strenge Besteigungen zu erleichtern, ist sich gleich geblieben. Die S. A. C.-Hütten sind Schirmhäuser für Bergsteiger, keine Gasthöfe oder Ausflugsziele.

Die ersten Hütten waren nach heutigen Begriffen klein, mit einfachsten Mitteln erstellt und nur mit dem Allernötigsten ausgestattet, recht eigentlich verbesserte Biwakplätze. Gerade durch ihre sachliche Primitivität und Anspruchslosigkeit sind sie dem Bergsteiger lieb.

Mit dem Erstarken des S. A. C. und besonders durch die Ausbreitung des Alpinismus konnten diese Hütten kaum mehr genügen. Die wachsende Zahl der Besucher verlangte grössere Hütten, damit stiegen auch die Ansprüche an Bequemlichkeit und Einrichtung. Das Bergsteigen im Winter brachte ebenfalls neue Bedürfnisse. Der S. A. C. sucht diese neuen Forderungen, soweit sie berechtigt erscheinen und dem Wesen seiner Schutzhütten entsprechen, zu erfüllen.

Die Clubhäuser in unseren Alpen sind heute so dicht gestreut, dass Bauplätze, für die ein Bedürfnis nach Schutzhütten im Sinne des S. A. C. nachgewiesen werden kann, selten geworden sind. Ausgenommen davon sind sog. «Bivaci fissi», d. h. ganz kleine Unterkünfte für wenige Touristen, in ihrer Art ähnlich den Hütten der Pionierzeit an schwer zugänglicher Stelle zur Erleichterung ganz schwieriger alpiner Unternehmungen.

Neubauten auf neuen Plätzen sind daher verhältnismässig selten. Häufiger werden Umbauten, Vergrösserungen oder die Ersetzung bestehender Hütten ausgeführt. Feste Biwaks sind durch den S. A. C. bis heute noch keine erstellt worden.

Das Verlassen des einräumigen Hüttentyps der Frühzeit fiel den zünftigen Bergsteigern und ihren Hüttenbaumeistern nicht leicht, und es wurden verschiedene Lösungen gesucht, um Klein zu Gross werden zu lassen, ohne auf das Alt-Gewohnte verzichten zu müssen. Man behielt sich beispielsweise so, dass zwei bis drei gleich ausgebildete Hütteinheiten hintereinander gestaffelt, wie etwa 1910 beim Bau der alten Medelserhütte (Arch. M. Guyer, Zürich) oder wie später 1916 beim Neubau der Cadlimohütte zwei gegengleiche Hütten unter einem First vereinigt wurden (Arch. G. Kruck mit Gebr. Pfister, Arch., SBZ Bd. 68, S. 155\*).

<sup>1)</sup> Vgl. SBZ Bd. 95 (1930), S. 258\*.

integriert werden, indem  $u$  als Hilfsvariable genommen wird.

Man betrachte nun in einem inneren Gewölbepunkt  $(x, y, z)$ , zwei aneinander stossende Flächenelemente senkrecht zur  $x$ - bzw.  $y$ -Richtung. Von den durch das eine, bzw. andere Flächenelement übertragenen Spannungen seien die interessierenden Komponenten mit  $N_1$ ,  $T$ , bzw. mit  $N_2$ ,  $T$  bezeichnet<sup>2)</sup>. Ferner führe man die folgenden, physikalisch leicht zu deutenden Integrale ein:

$$n_1(x, y) = \int_0^b N_1(x, y, z) dz, \quad n_2(x, y) = \int_0^b N_2(x, y, z) dz$$

$$t(x, y) = \int_0^b T(x, y, z) dz$$

Das Integrationsintervall  $b$  ist, wie gesagt, eine Funktion von  $u$ . Es kann zunächst gezeigt werden, dass auch in diesem Fall die klassischen<sup>3)</sup> Gleichgewichtsbedingungen:

$$\frac{\partial n_1}{\partial x} + \frac{\partial t}{\partial y} = 0 \quad \dots \quad (1)$$

$$\frac{\partial t}{\partial x} + \frac{\partial n_2}{\partial y} = \gamma b \quad \dots \quad (2)$$

( $\gamma$  = spezifisches Gewicht des Betons)

gültig sind. Verbindet man, unter Annahme des Hooke'schen Gesetzes, die Gleichgewichts- mit den Deformationsgleichungen, so führt eine längere Rechnung auf eine dritte, für das gestellte Problem charakteristische Gleichung:

$$\frac{\partial^2 n_1}{\partial y^2} - \frac{\partial^2 n_2}{\partial x^2} = 0 \quad \dots \quad (3)$$

<sup>1)</sup> Prof. Pigeaud (Paris) hat eine ausführliche Theorie der Gewichtstaumauern ausgearbeitet, die von Escande in seinem Buche «Barrages» (Hermann, Paris, 1937) wiedergegeben wird. Auf Seite I, 60 bis 61, Abb. 15 und 16 kann die lineare Spannungsverteilung längs einer Horizontalfuge kontrolliert werden.

<sup>2)</sup> Wir haben die in Frankreich üblichen Bezeichnungen beibehalten:  $N$  für die Normalspannungen ( $\sigma$ ) und  $T$  für die Tangentialspannungen ( $\tau$ ).

<sup>3)</sup> Für die klassische Gewichtstaumauer sind diese Gleichungen z. B. bei Escande, «Barrages», Seite I, 38, Gleichung (28) zu finden.